

# استفاده از مهاربندهای کمانش ناپذیر در مقاوم سازی لرزه ای قابهای خرجینی

**سید مهدی زهرایی**

استادیار گروه مهندسی عمران – دانشکده فنی – دانشگاه تهران

**مهدی دهقانی رنانی**

دانشجوی دکتری زلزله – دانشکده فنی – دانشگاه تهران

(تاریخ دریافت ۸۳/۲/۱۲، تاریخ دریافت روایت اصلاح شده ۸۴/۳/۲، تاریخ تصویب ۸۴/۳/۷)

## چکیده

قاب خرجینی یکی از سیستمهای سازه‌ای رایج در کشور می‌باشد و تحقیقات متعدد مبین نیازمندی این سیستم به مقاوم سازی لرزه‌ای است. در این مقاله نوع خاصی از میراگرهای هیسترزیس تحت عنوان مهاربندهای کمانش ناپذیر، مورد توجه قرار گرفته و سعی شده است تا رفتار این میراگر و سیستمهای دارای آن و همچنین فرایند طراحی آنها بررسی گردد. در نهایت با استفاده از این نوع میراگر یک قاب خرجینی نیازمند به تقویت لرزه ای مقاوم سازی شده و رفتار آن تحت شتاب نگاشتهای زلزله‌های ناغان، طبس و نورتربیج بعد و قبل از تقویت بررسی و مقایسه گردیده است. نتایج عددی نشان داد که مهاربندهای کمانش ناپذیر توانایی بالایی در طراحی لرزه ای سازه‌های جدید و نیز مقاوم سازی سازه‌های موجود دارند.

**واژه‌های کلیدی :** مهاربندهای کمانش ناپذیر، مقاوم سازی لرزه ای، قابهای خرجینی، اتلاف انرژی زلزله، تحلیل تاریخچه زمانی

## مقدمه

را قابهای ساده خرجینی تشکیل می‌دهد. از آنجا که اتصالات خرجینی فاقد سختی و مقاومت کافی می‌باشند این نوع قابها توان مقابله با بارگذاری زلزله را نداشته و نیازمند تقویت لرزه ای می‌باشند. روش‌های متفاوتی برای تقویت این قابها وجود دارد از جمله آنها می‌توان به مهاربندی کردن قاب و یا تقویت اتصالات آن به منظور تقویت رفتار خمشی قاب اشاره کرد. اصولاً قابهای مهاربندی شده به دلیل بروز پدیده کمانش در مهاربندها از قابلیت جذب انرژی مطلوبی برخوردار نیستند و در نتیجه باید برای نیروی زلزله بالایی طراحی شوند که این امر موجب بالا رفتن حجم عملیات مقاوم سازی و هزینه‌های آن می‌گردد. از طرف دیگر تقویت خمشی اتصالات خرجینی نیز اگر چه موجب بهبود رفتار این نوع قابها می‌شود ولی از آنجا که تیرها و ستونهای قابهای خرجینی موجود به منظور مقابله با لنگرهای ناشی از زلزله طراحی نشده‌اند تقویت اتصالات به تنها ی کفايت نمی‌کند و در نتیجه هزینه مقاوم سازی از این روش نیز بسیار زیاد

امروزه استفاده از میراکننده‌های انرژی در سازه‌ها به منظور اتلاف انرژی زلزله مورد توجه فراوان قرار گرفته است. مزیت اصلی استفاده از میراگرهای جذب انرژی زلزله در اجزایی مجرزا از قاب سازه ای می‌باشد. این امر منجر به کاهش آسیبهای سازه اصلی در هنگام وقوع زلزله می‌گردد. در میان انواع مختلف میراگرهای هیسترزیس به علت هزینه کم، قابلیت اطمینان بالا و فقدان اجزاء مکانیکی در آن از جایگاه ویژه‌ای برخوردار می‌باشد.

در ابتدا فقط به منظور بهبود بخشیدن به رفتار سازه‌هایی که قبلاً تحت بار جانبی قرار گرفته‌اند و نیاز به مقاوم سازی دارند از میراگرهای غیر فعال استفاده می‌گردد. اما از آنجا که رفتار سازه‌های دارای سیستم میراگرهای غیر فعال رفتاری پایدار و قابل پیش‌بینی می‌باشد، مدتی است که در فرایند طراحی لرزه ای نیز، حضور این میراگرهای بیشتر شده است. تعداد زیادی از سیستمهای سازه‌ای موجود در ایران

کمانش هسته فولادی به منظور امکان وقوع پدیده تسلیم فشاری در آن و در نتیجه امکان جذب انرژی در این عضو از سازه می باشد. این امر با پوشاندن سراسر طول هسته فولادی در لوله فولادی پر شده با بتن یا ملات میسر می گردد. در این سیستم نیاز به فراهم آوردن یک سطح لغرض یا لایه ناپیوستگی بین هسته فلزی و بتن محصور کننده وجود دارد (شکل ۲).



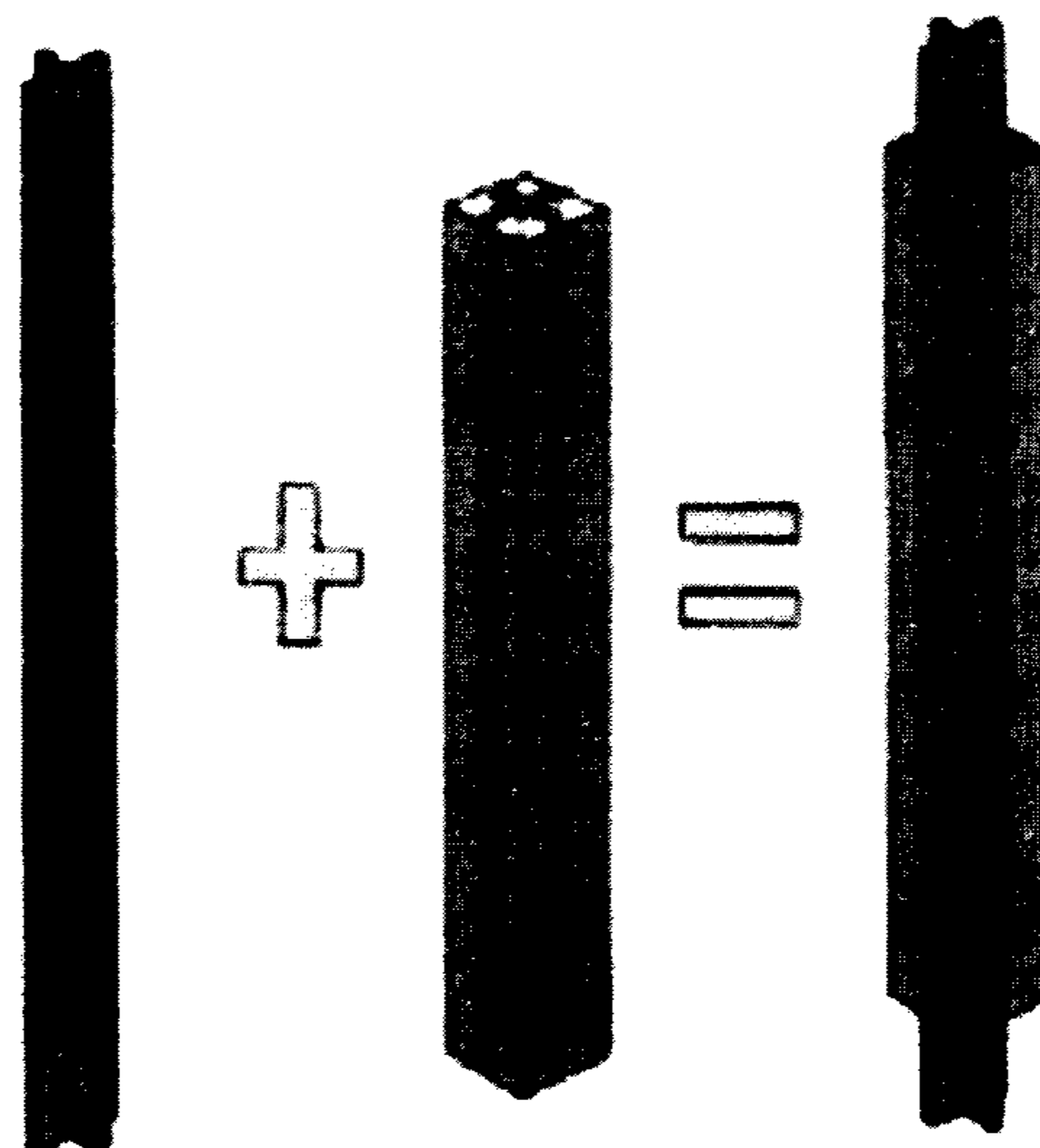
شکل ۲: هسته مرکزی با یک لایه لغزندۀ از بتن یا مصالح دیگر موجود در غلاف مجزا می شود. [۱۵].

هدف از این امر آن است که نیروی مهاربندی فقط توسط هسته فولادی تحمل شود. مصالح و هندسه لایه لغزشی مذکور باید به گونه‌ای طراحی و ساخته شود که امکان حرکت نسبی بین هسته فولادی و بتن که به سبب وجود برش و اثر پواسون ایجاد می‌گردد، فراهم شود و در نتیجه ضمن جلوگیری از کمانش موضعی هسته، امکان تسلیم آن در حالت بارگذاری فشاری فراهم شود. بتن و محفظه لوله‌ای شکل فولادی سختی و مقاومت خمی لازم را برای جلوگیری از کمانش کلی مهاربند فراهم آورده و امکان تحمل بار توسط هسته فولادی را تا حد تسلیم - بدون آنکه کاهشی در سختی و مقاومت مهاربند طی چرخه‌های بارگذاری ایجاد گردد - فراهم می‌آورد.

همچنین بتن و محفظه فولادی از کمانش موضعی هسته جلوگیری می‌کند. رفتار چرخه‌ای غیر الاستیک این مهاربندها با انجام آزمایش‌های زیادی بررسی شده است. [Watanabe 1989, Clark 2000, Kamura 2000, Iwata 2000] این آزمایشات که با مطالعات اجزاء محدود نیز همخوانی داشت [Saeki 1996] نشان داد که برخلاف مهاربندهای معمول چرخه‌های هیسترزیس پایدار در کشش و

خواهد بود. استفاده از میراگرها از آنجا که به علت قابلیت اتلاف انرژی بالا در آنها میزان نیاز به تقویت دیگر اجزای سازه را کاهش می دهد می تواند مورد توجه باشد.

در این مقاله نوع خاصی از میراگرهای هیسترزیس تحت عنوان مهاربندهای کمانش ناپذیر<sup>۱</sup>، مورد توجه قرار گرفته و سعی شده است تا رفتار این میراگر و سیستمهای دارای آن و همچنین فرایند طراحی آنها بررسی گردد و در نهایت با استفاده از این نوع میراگر یک قاب خرجینی نیازمند به تقویت لرزه‌ای، مقاوم سازی شده و رفتار آن تحت شتاب نگاشتهای زلزله‌های ناغان، طبس و نورتریج بعد و قبل از تقویت بررسی گردیده است.

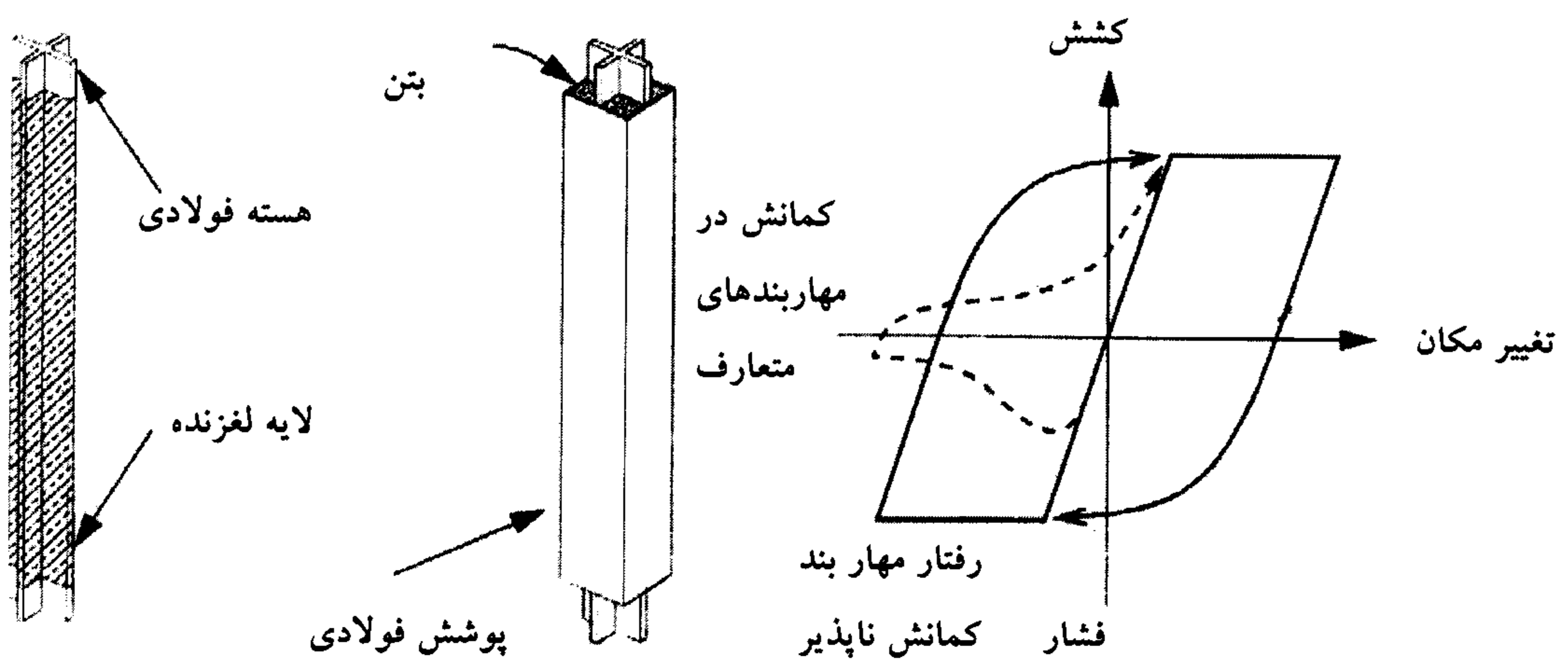


شکل ۱: مهاربند کمانش ناپذیر [۱۵].

## مبانی

بسیاری از نتایج رفتاری مهاربندهای همگرای متعارف نتیجه اختلاف بین ظرفیت فشاری و کششی این مهاربندها و زوال در مقاومت این مهاربندها تحت بارگذاری چرخه‌ای می‌باشد. از این رو تحقیقات بسیاری صرف بهسازی این مهاربندها جهت رسیدن به یک رفتار الاستو - پلاستیک ایده‌آل گردیده است. برای رسیدن به این هدف لازم بود تا با استفاده از مکانیزم مناسبی از کمانش فشاری مهاربند جلوگیری شود و امکان تسلیم فشاری فولاد فراهم آید. روشی که مد نظر قرار گرفت عبارت بود از محصور سازی یک هسته فلزی شکل پذیر در میان حجمی از بتن که خود توسط یک غشای فلزی در بر گرفته شده است [watanabe 1989] (شکل ۱).

مبانی اصلی عملکرد این میراگر، جلوگیری از وقوع



شکل ۳: رفتار و مشخصات مهار بند کمانش ناپذیر [۶].

سیستم کمانش ناپذیر وجود ندارد.

فشار حاصل می‌گردد (شکل ۳) و در نتیجه ظرفیت بالایی برای جذب انرژی زلزله در سازه ایجاد می‌گردد.

### طراحی

از آنجا که اساس عملکرد میراگرهای هیسترزیس تغییر شکلهای پلاستیک ایجاد شده در فولاد می‌باشد، مبانی طراحی سازه‌های دارای سیستم مهاربندهای کمانش ناپذیر مشابه با مبانی طراحی قابهای دارای مهاربندی خارج از محور می‌باشد. بنابراین از روش استاتیک معادل دربرآورد نیروی طراحی قابهای دارای مهاربندی خارج از محور که در استاندارد ۲۸۰۰ ارائه گردیده است می‌توان در برآورد نیروی طراحی قابهای دارای این سیستم استفاده نمود.

بعد از تعیین بارهای وارد بر سازه و تحلیل قاب تحت آنها، مقدار نیروی ایجاد شده در مهاربندها  $P_{br}$  مشخص می‌شود. بنابراین سطح مقطع مورد نیاز برای ناحیه تسلیم شونده مهاربند برابر است با

$$A'_{br} = \frac{P_{br}}{1.25 \times 0.6 F_y} \alpha \quad (1)$$

که  $\alpha$  را بین یک و نسبت مقاومت نهایی به حداقل بار ناشی از تحلیل در اعضای که بار مهاربند به آنها منتقل می‌شود (مانند ستونها) می‌توان در نظر گرفت. مقادیر بزرگتر این ضریب، سختی و قابلیت جذب انرژی سیستم را بالا می‌برد.  $F_y$  برابر با مقاومت تسلیم هسته فولادی

رفتار قابهای دارای مهاربندهای کمانش ناپذیر به رغم مشابهت ظاهری، تفاوت زیادی با قابهای دارای مهاربندهای متداول هم محور دارد. در سیستم مهاربندی کمانش ناپذیر حلقه‌های هیسترزیس از نوع پایدار بوده و طی چرخه‌های بارگذاری و باربرداری متعدد، افت در مقاومت و سختی سیستم مشاهده نمی‌شود. در حالی که تحقیقات دو دهه اخیر نشان می‌دهد که در سیستم مهاربندهای هم محور این مهاربندها در مود فشاری دچار کمانش کلی می‌شوند و در نتیجه سیستم دچار زوال در مقاومت و سختی می‌گردد و در واقع پایین افتادگی منحنی هیسترزیس را موجب می‌شود (شکل ۳). همچنین در مود کششی، جزئیات اتصالات مهاربند دچار وضعیت بحرانی می‌شود. به عبارت دیگر با استفاده از مهاربندهای کمانش ناپذیر شکلپذیری بالا می‌رود و مود شکننده موجود در سیستم مهاربندهای هم محور به مود شکل پذیر تبدیل می‌گردد. مقدار نیروی طراحی حاصل از روش استاتیک معادل در این سیستم هم محور متداول به میزان قابل توجهی بیش از سیستم مهاربندهای کمانش ناپذیر می‌باشد که باعث غیر اقتصادی بودن آن در مقایسه با سیستم مهاربندهای کمانش ناپذیر می‌گردد. در مقایسه با سیستم مهاربندهای ۷ و ۸ نیز باید گفت نیروی نامتعادل وارد بر تیر در سیستم مهاربندهای ۷ و ۸ در

می باشد (شکل ۴)، با استفاده از این میراگر تقویت گردیده است (شکل ۵).

فاصله از قابهای مجاور سه متر است و بار مرده و زنده وارد بر هریک از سقفها به ترتیب برابر ۷۰۰ و ۲۰۰ کیلو گرم بر متر مربع می باشد. اتصال ستونها به پی از نوع گیردار بوده و اتصال تیرها به ستون از نوع خرجینی است. نبیشیها از شماره L100\*100\*10 و به طول ۱۶۰ سانتیمتر می باشد. قاب خرجینی با استفاده از مهاربندهای کمانش ناپذیر که سطح مقطع آنها بر اساس نیروی حاصل از آئین نامه ۲۸۰۰ (ضریب رفتار مشابه قابهای دارای مهاربند خارج از محور برابر ۸ در نظر گرفته شده است) و روش طراحی مذکور در قسمت ۳ به ترتیب از طبقه اول تا سوم برابر با ۴/۸۵ و ۴/۹۰ و ۲/۹۴ سانتیمتر مربع محاسبه گردیده است، مقاوم شده است (با فرض ضریب  $\alpha = 1$ ).

به منظور بررسی رفتار قاب، قبل و بعد از مقاوم سازی این دو قاب با استفاده از نرم افزار تحلیلگر ANSYS 5.4 مدل گردیده‌اند و با در نظر گرفتن رفتار غیر خطی مادی و هندسی، تحت مولفه افقی شتاب نگاشتهای مقیاس شده زلزله‌های ناغان، طبس و نورتریج تحلیل گردیده‌اند. شتابنگاشت این زلزله‌ها بافرض شتاب ماکزیمم آن ها برابر با  $PGA = 0.5g$  مقیاس گردیده است. به علت آنکه اتصالات خرجینی دارای رفتار غیر خطی لنگر - دوران می باشند به منظور انجام یک تحلیل دقیق غیر خطی نیاز به تعیین منحنی رفتاری این اتصال ANSYS می باشد به این دلیل با استفاده از نرم افزار 5.4 اتصال خرجینی مذکور مدل سازی و تحلیل گردیده است. این مدل و منحنی لنگر - دوران حاصل از تحلیل آن در شکلهای (۶) و (۷) مشاهده می گردد. سپس با استفاده از قابلیتهای نرم افزار مذکور منحنی لنگر - دوران اتصال به طور دقیق به صورت یک فنر غیر خطی مدل گردیده است.

### نتایج تحلیل غیر خطی قاب خرجینی

تحلیل قاب خرجینی ساده تحت مولفه افقی شتاب نگاشتهای مقیاس شده زلزله‌های ناغان، طبس و نورتریج نشان داد که این قاب توان مقابله با بار زلزله مذکور را دارا نمی باشد و به علت تشکیل مفاصل پلاستیک متعدد در

مهاربندی می باشد. ضریب ۱/۲۵ به علت در نظر گرفتن پدیده سخت شوندگی کرنشی در فولاد می باشد. به عبارت دیگر سایر اجزای قاب باید به گونه‌ای طراحی گردند که در حالت نهایی نیز در محدوده الاستیک باقی بمانند. زیرا به سبب افزایش نیروی مهاربندهای کمانش ناپذیر در اثر پدیده سخت شوندگی کرنشی فولاد، مقدار نیروی ایجاد شده در این مهاربندها در حالت نهایی بیش از مقاومت تسلیم آنها خواهد بود. بنابراین با در نظر گرفتن این ضریب از عدم تسلیم سایر اجزاء قاب تا پایان رخداد زلزله اطمینان خاطر کسب می گردد.

چون سطح مقطع هسته مرکزی به میزان قابل توجهی از سطح مقطع ناحیه انتهایی اتصال کوچکتر است، اکثر تغییر مکانهای الاستیک و همچنین پلاستیک در این ناحیه رخ می دهد. با توجه به این امر سختی محوری هر مهاربند کمانش ناپذیر برابر است با:

$$K_{br} = \frac{EA_{br}}{L'_{br}} \quad (2)$$

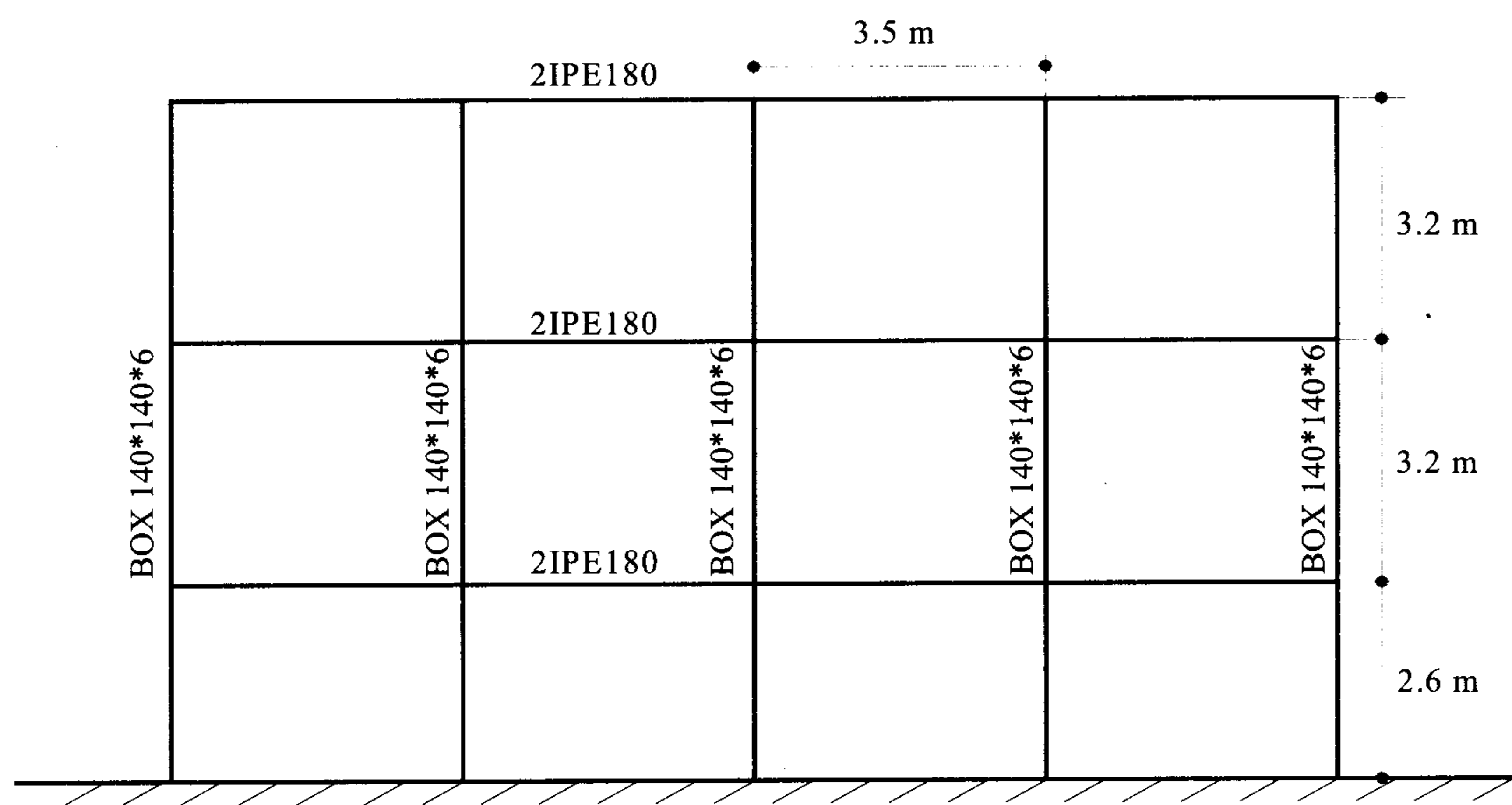
$L'_{br}$  طول هسته مرکزی و  $E$  مدول الاستیسیته صالح فولادی هسته می باشد. همچنین کرنش محوری ناحیه تسلیم شونده برابر است با

$$\epsilon_{br} = \frac{\delta_{br}}{L'_{br}} \quad (3)$$

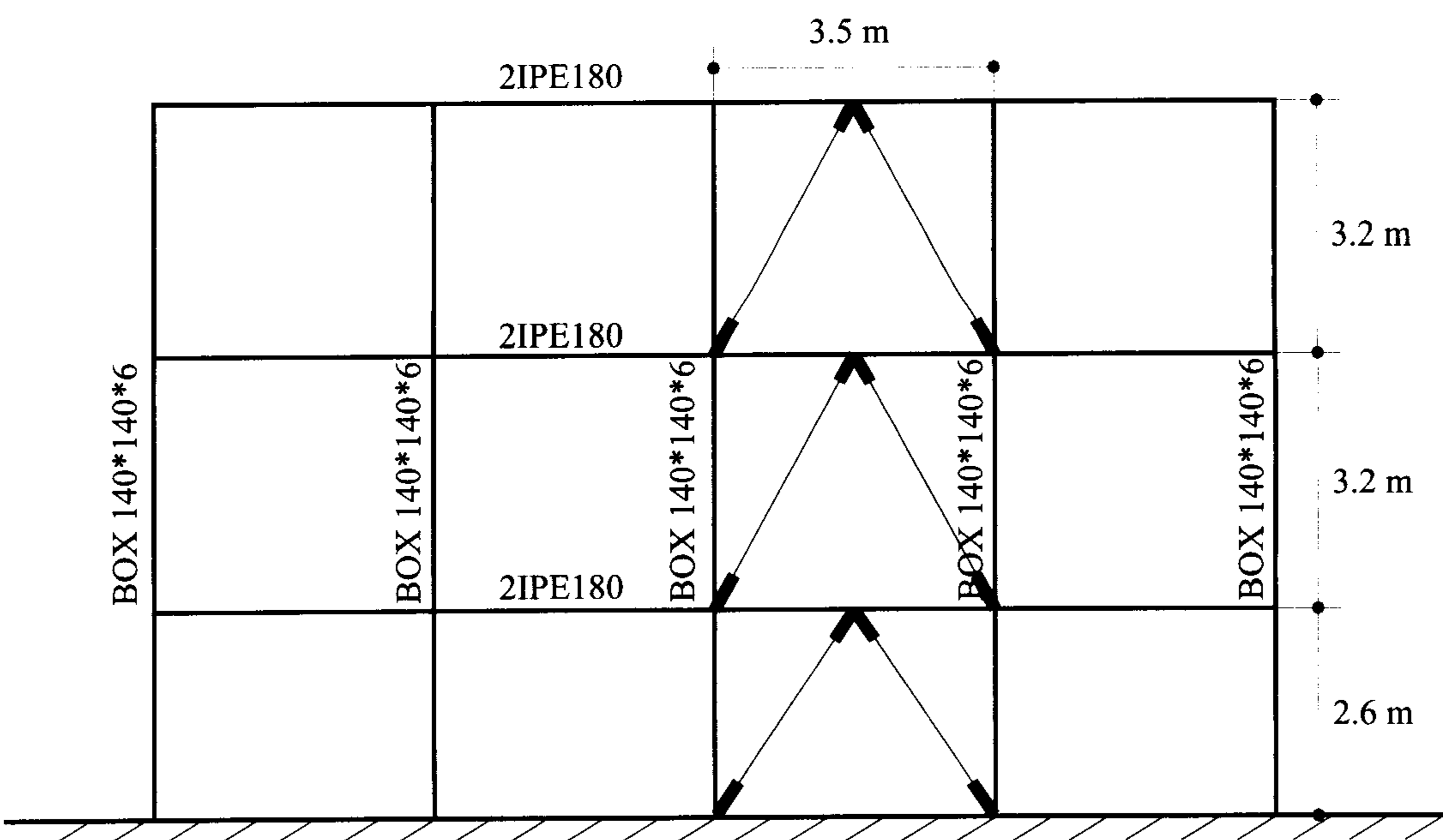
که  $\delta_{br}$  تغییر شکل محوری مهاربند می باشد. می توان با کاهش  $L'_{br}$  بر مقدار سختی مهاربند افزود و در نتیجه از مقدار تغییر مکان نسبی طبقه کاست. همانطور که رابطه ۲ نشان می دهد این امر مستقل از مقاومت مهاربند صورت می گیرد. این خصوصیت از این نظر که به طراح آزادی عمل زیادی می دهد، بسیار قابل توجه می باشد. همچنین امکان انتخاب مقاومت فولاد و سطح مقطع مهاربند نیز بر آزادی عمل طراح می افزاید (معادلات ۱ و ۲).

### مقاوم سازی قاب خرجینی

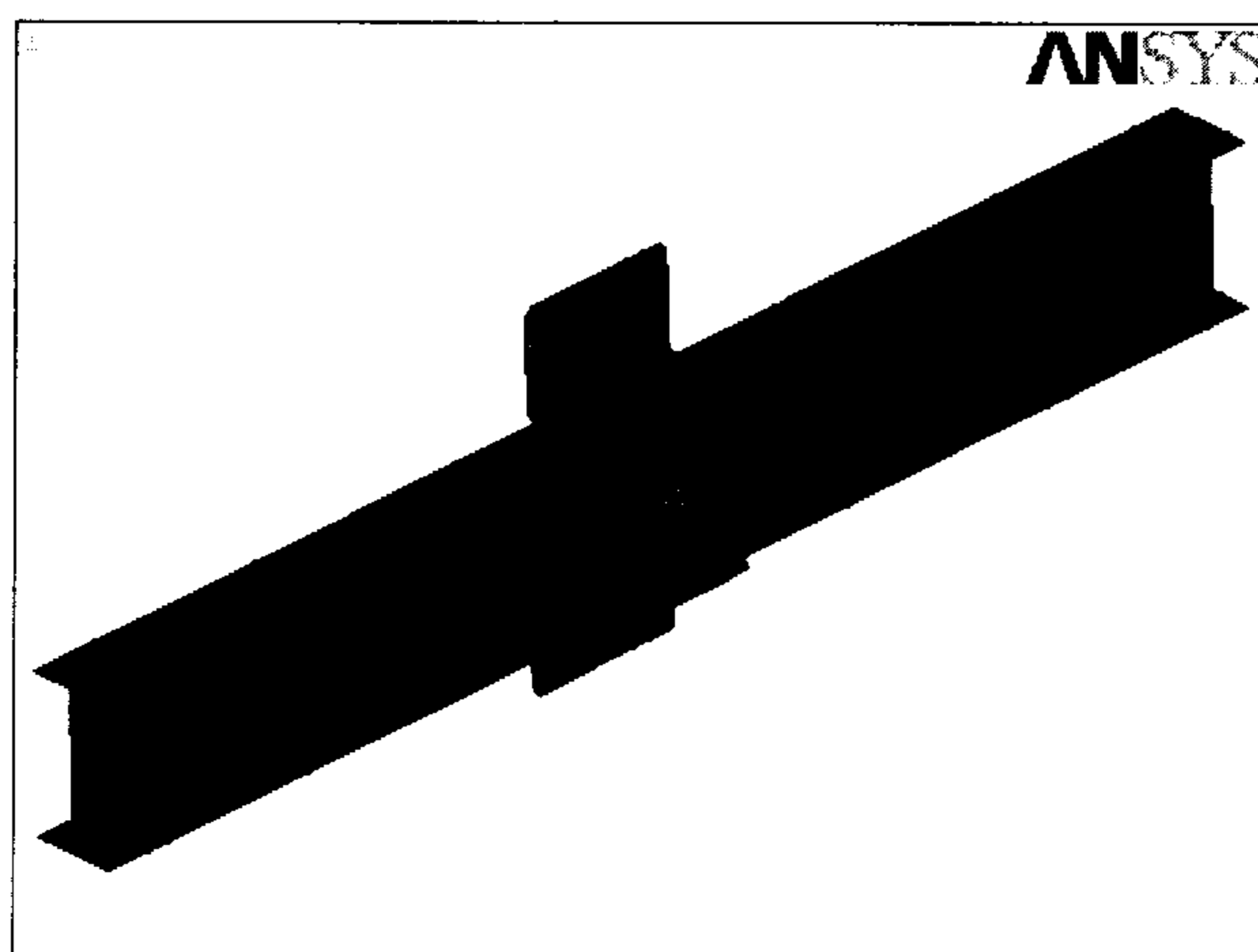
به منظور بررسی رفتار مهاربند کمانش ناپذیر، یک قاب خرجینی سه طبقه که در برابر زلزله آسیب پذیر



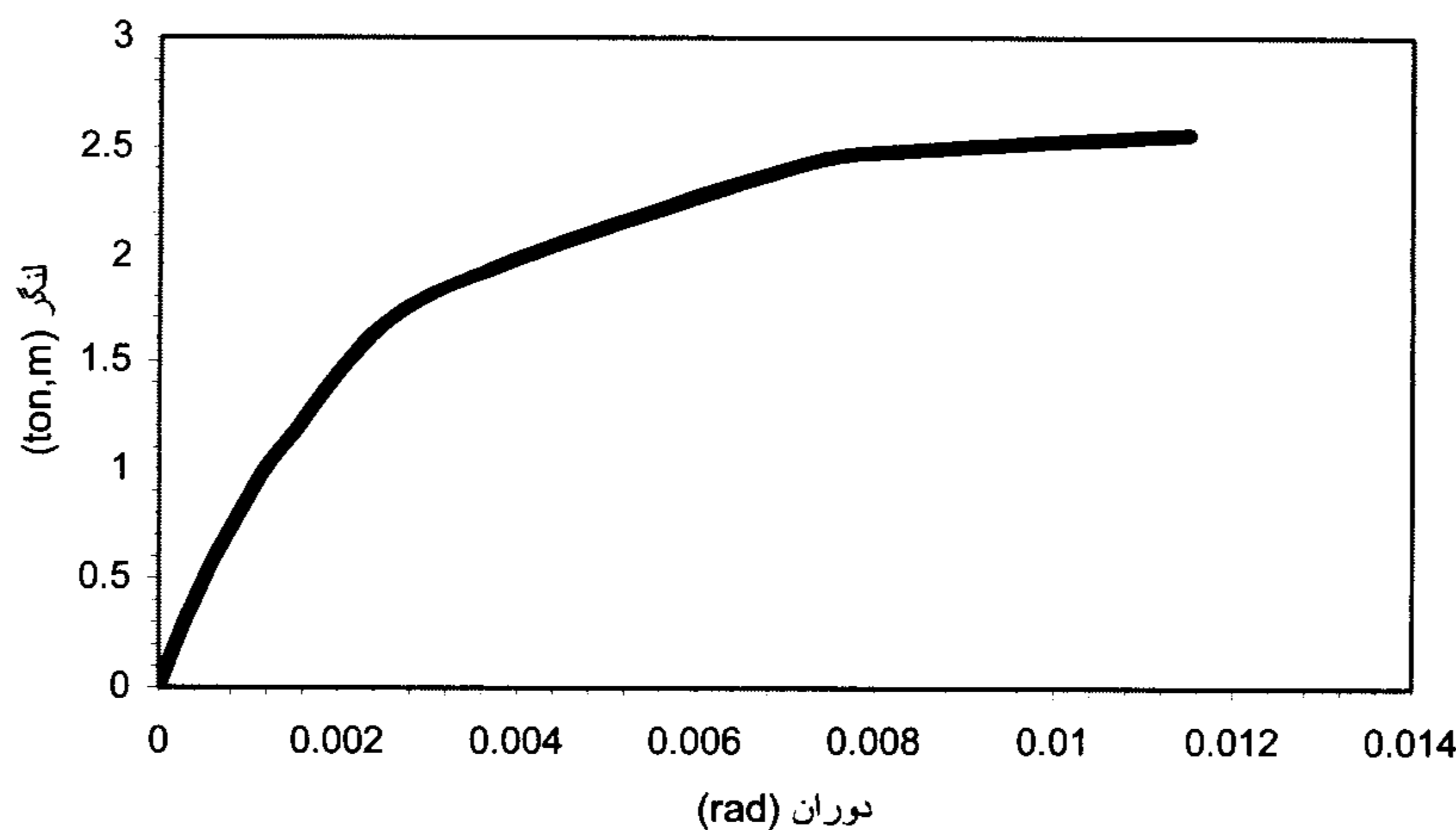
شکل ۴ : قاب خرجینی نیازمند به مقاوم سازی.



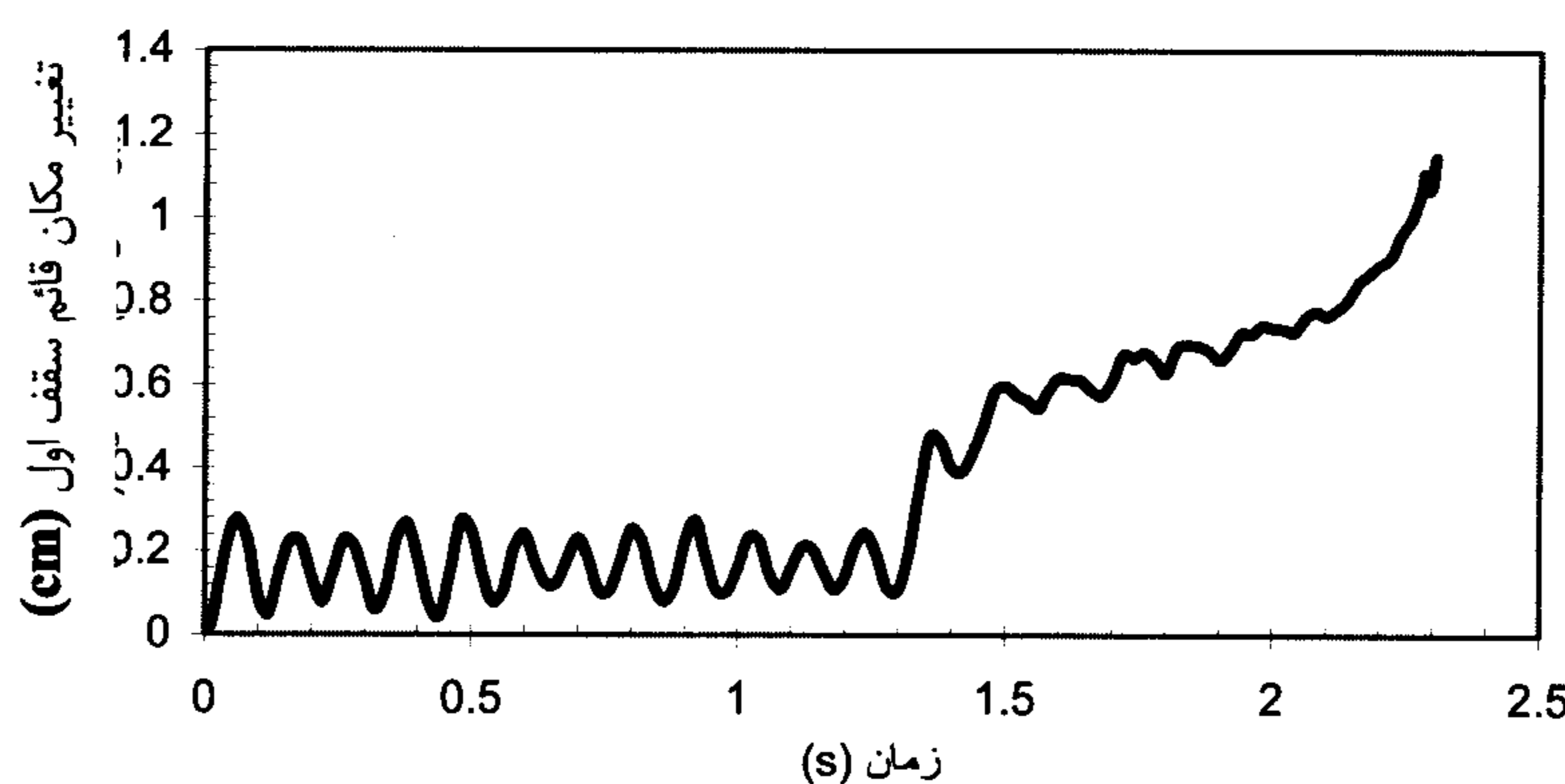
شکل ۵ : قاب خرجینی مقاوم شده با میراگرهای هیسترزیس.



شکل ۶: مدل اجزا محدود اتصال خرجینی.



شکل ۷: منحنی لنجر - دوران اتصال خرجینی حاصل از تحلیل اجزا محدود.



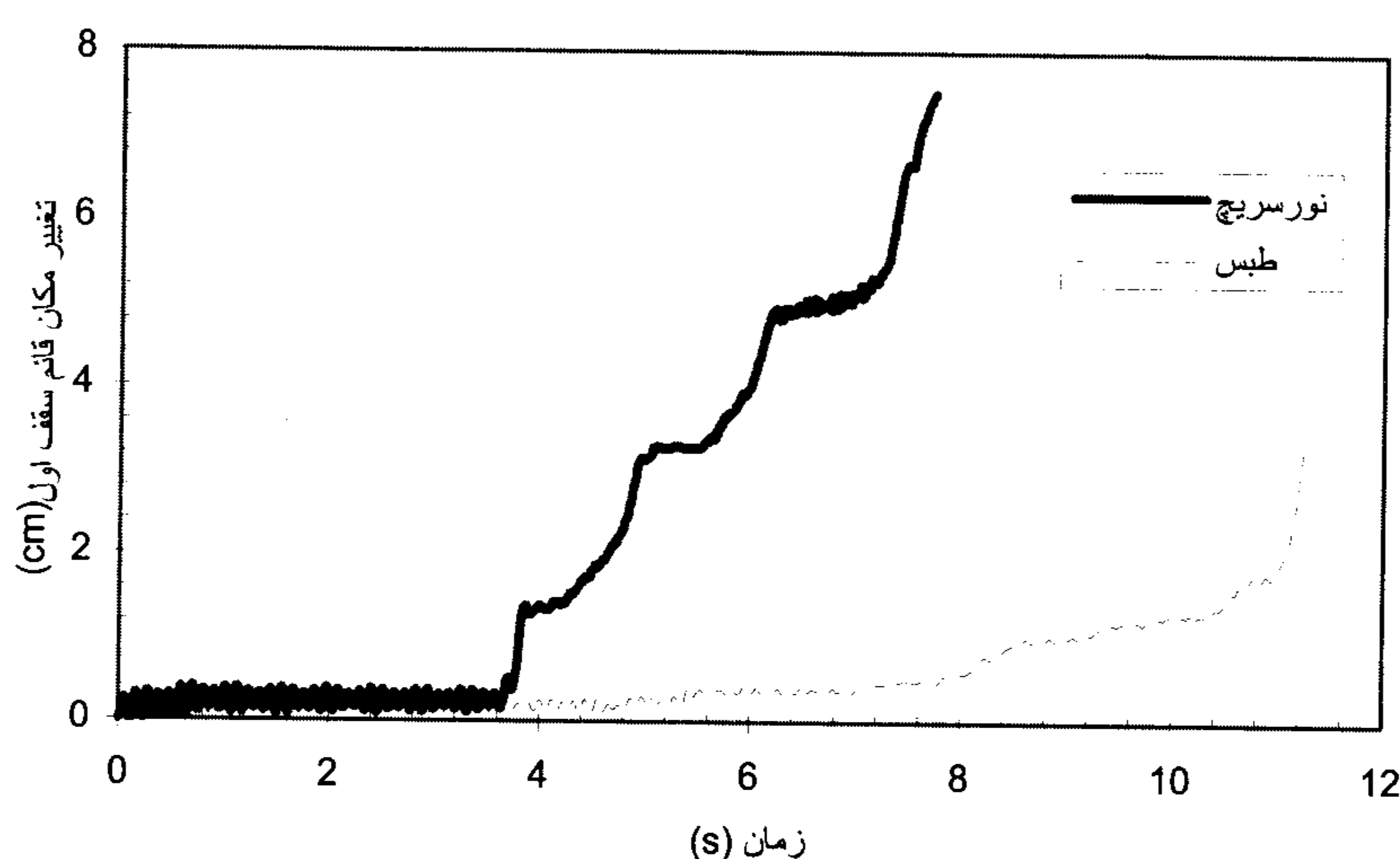
شکل ۸: تغییر مکان قائم سقف اول در اثرمولفه افقی شتاب نگاشت زلزله ناغان.

(۱۲) منحنی تغییرمکان افقی قاب خرجینی ساده از زمان شروع زلزله تا زمان فروریزش قاب مشاهده می شود. در شکل (۱۳) منحنی برش پایه - تغییرمکان افقی سقف طبقه اول قاب خرجینی ساده تحت شتابنگاشت

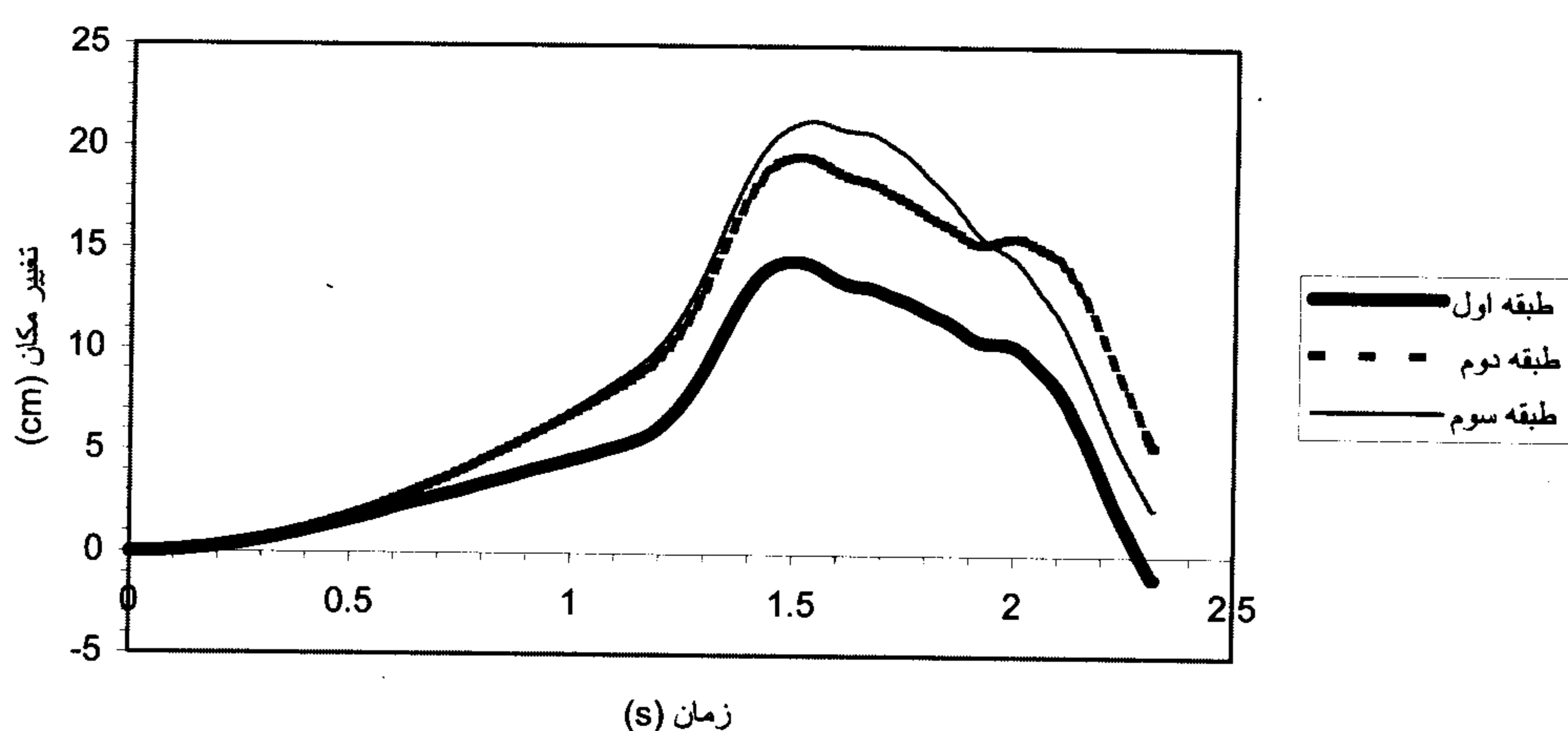
ستونهای قاب و همچنین سختی کم قاب که تشدید کننده پدیده  $\Delta F$  می باشد در زمان ۲/۳۲ ثانیه از آغاز زلزله دچار فروریزش گردید. در شکلهای (۸) و (۹) این پدیده به وضوح مشاهده می گردد. در شکلهای (۱۰) تا

تغییر مکان قاب کاهش پیدا نکرده است. علت این امر بروز ناپایداری و در نهایت فروریزش قاب می‌باشد. نتایج تحلیل غیرخطی نشان می‌دهد که قاب خرجینی مقاوم شده، قادر به تحمل نیروی زلزله می‌باشد. در شکلهای (۱۴) تا (۱۶) تغییر مکان نسبی افقی ایجاد شده در مدت زلزله در هر یک از طبقات قاب خرجینی مشاهده می‌شود. همانطور که مشاهده می‌شود تغییر مکانهای ماندگار در تمام طبقات وجود دارد، این امر مبین کارکرد میراگرها در تمام طبقات است.

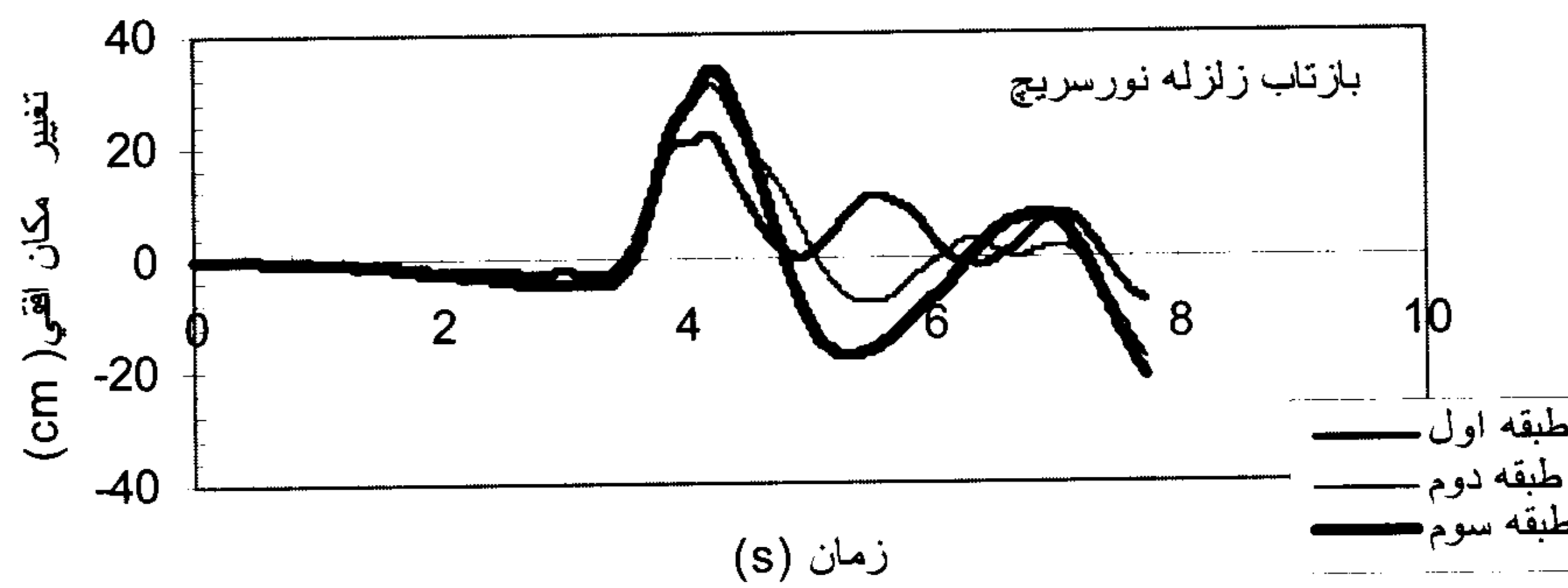
زلزله ناغان مشاهده می‌شود. قاب خرجینی ساده به علت سختی کم آن از پریود بالایی برخوردار است لذا در ثانیه ۲/۳۲ از آغاز زلزله هنوز یک چرخه کامل را طی نکرده است. به علت سختی کم، این قاب موفق به جذب برش پایه کمی گردیده است که حداقل آن به ۴۵۰۰ کیلوگرم رسیده است. تغییر مکان حد اکثر پیش از فروریزش در طبقه اول قاب برابر با ۱۴ سانتیمتر گردیده است. در ناحیه انتهایی منحنی مشاهده می‌شود که با وجود کاهش مقدار برش پایه از ۳۰۰۰ کیلوگرم به ۲۲۵۰ کیلوگرم



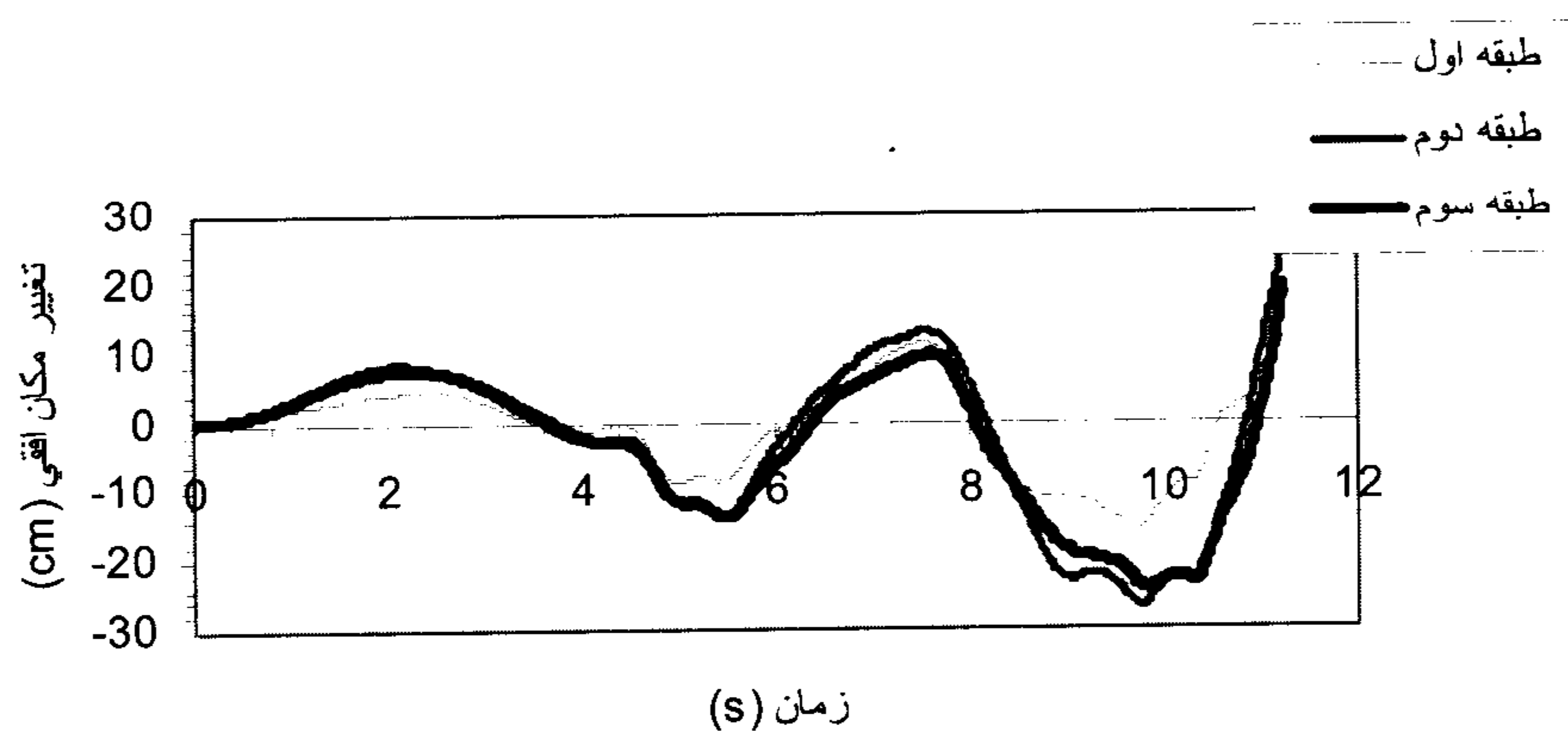
شکل ۹: تغییر مکان قائم سقف اول در اثرمولفه افقی شتاب نگاشت زلزله های نورسیچ و طبس.



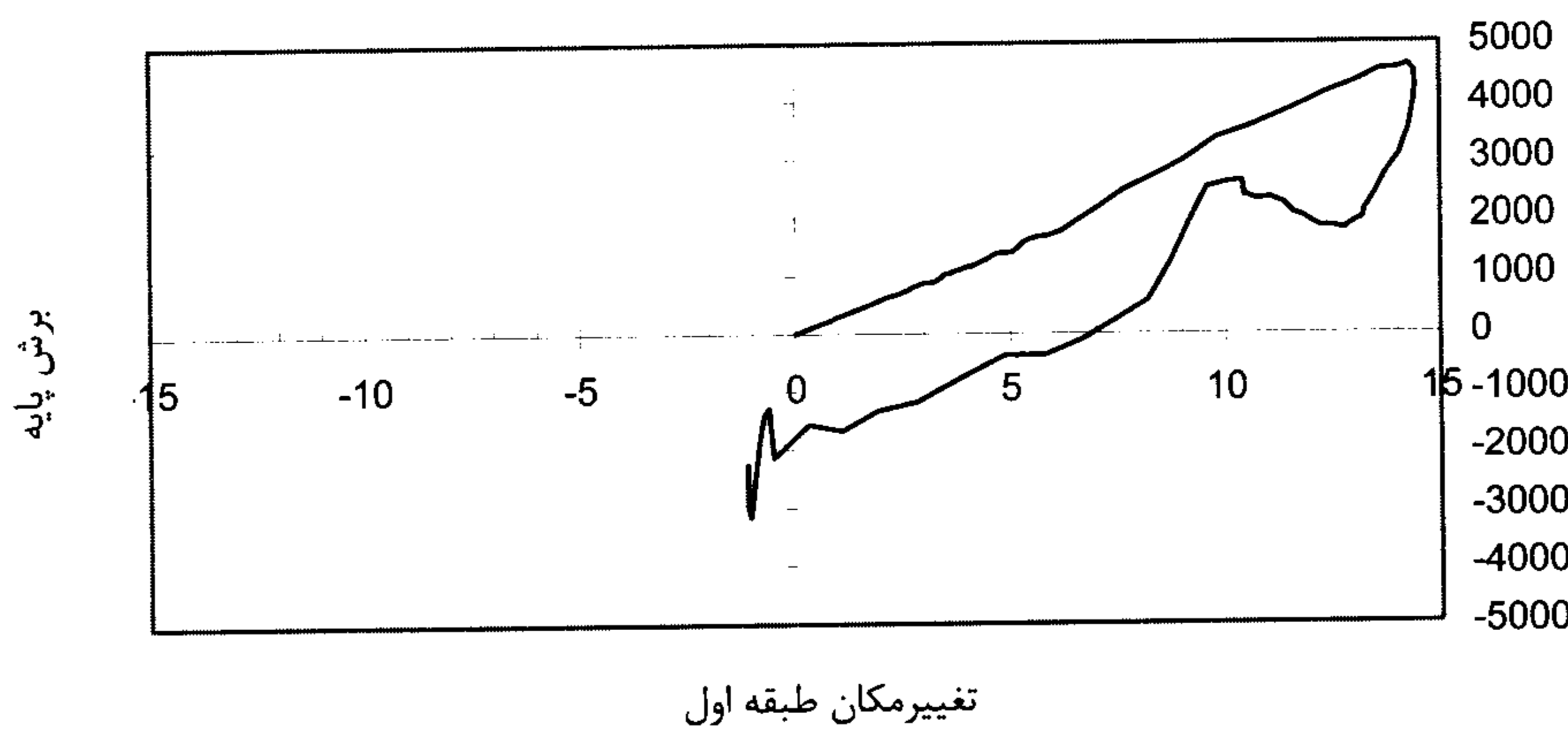
شکل ۱۰ : تغییر مکان افقی قاب خرجینی ساده از آغاز زلزله تا هنگام فروریزش تحت زلزله ناغان.



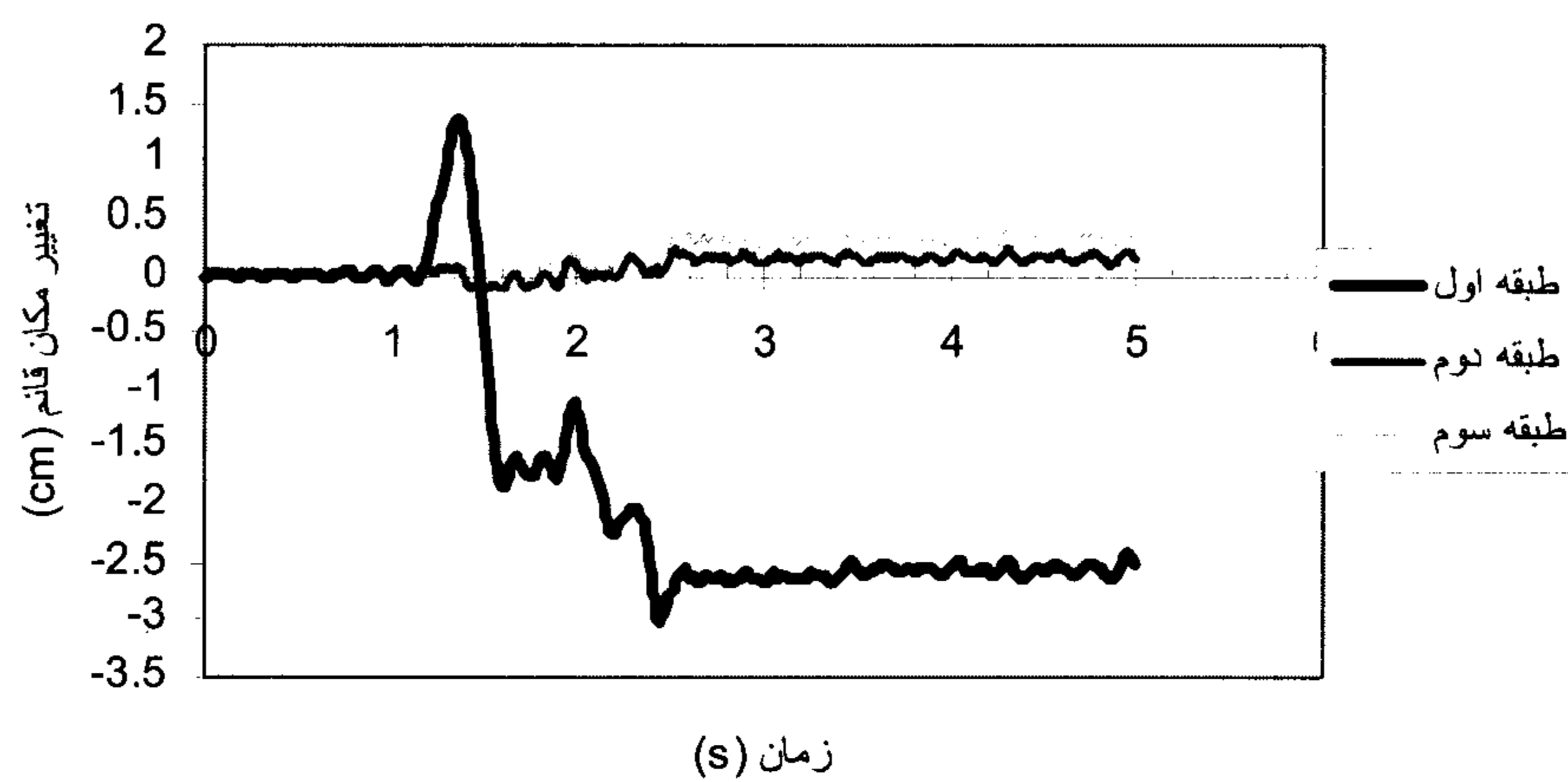
شکل ۱۱: تغییرمکان افقی قاب خرجینی ساده از آغاز زلزله تا هنگام فروریزش تحت زلزله نورتریج.



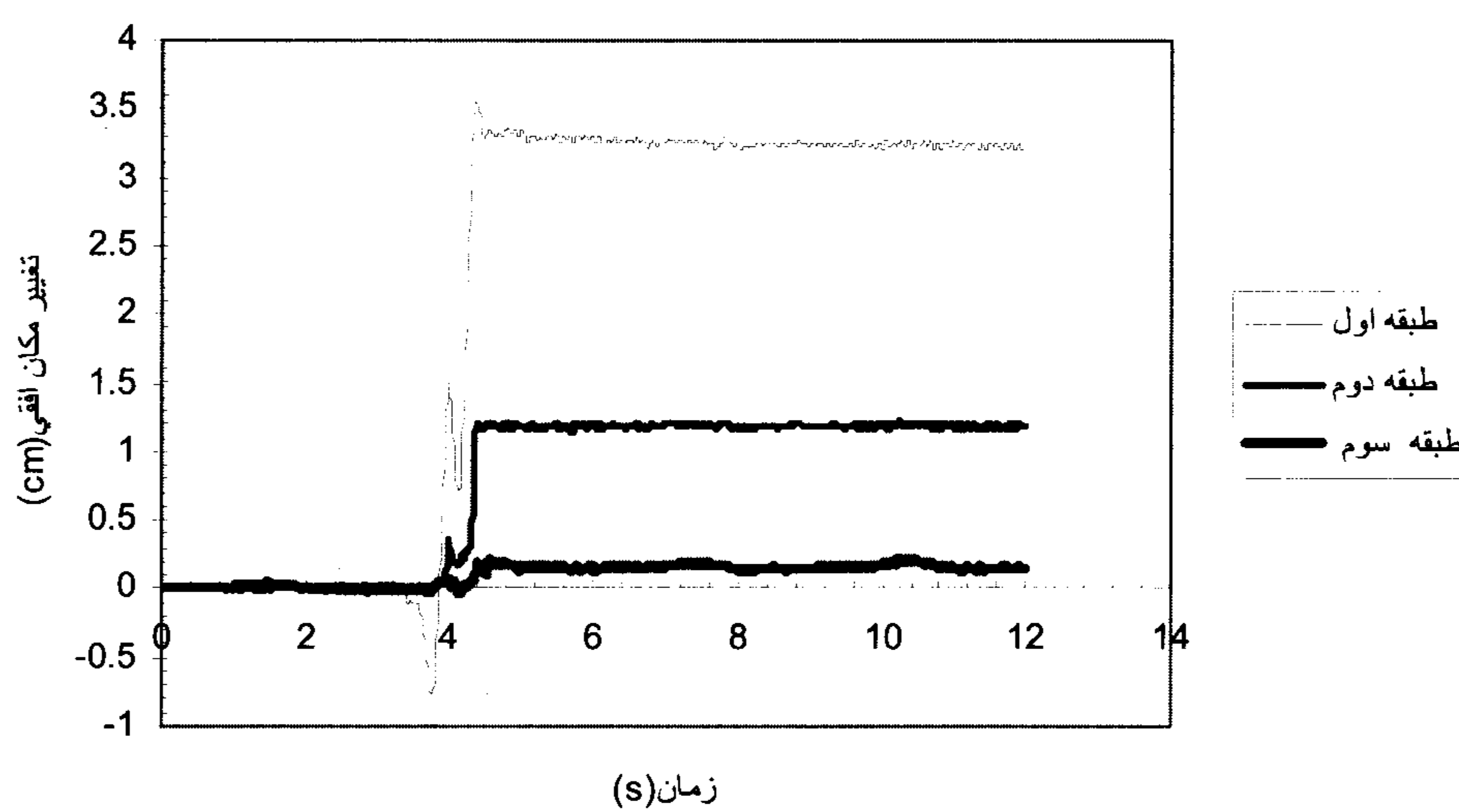
شکل ۱۲: تغییرمکان افقی قاب خرجینی ساده از آغاز زلزله تا هنگام فروریزش تحت زلزله طبس.



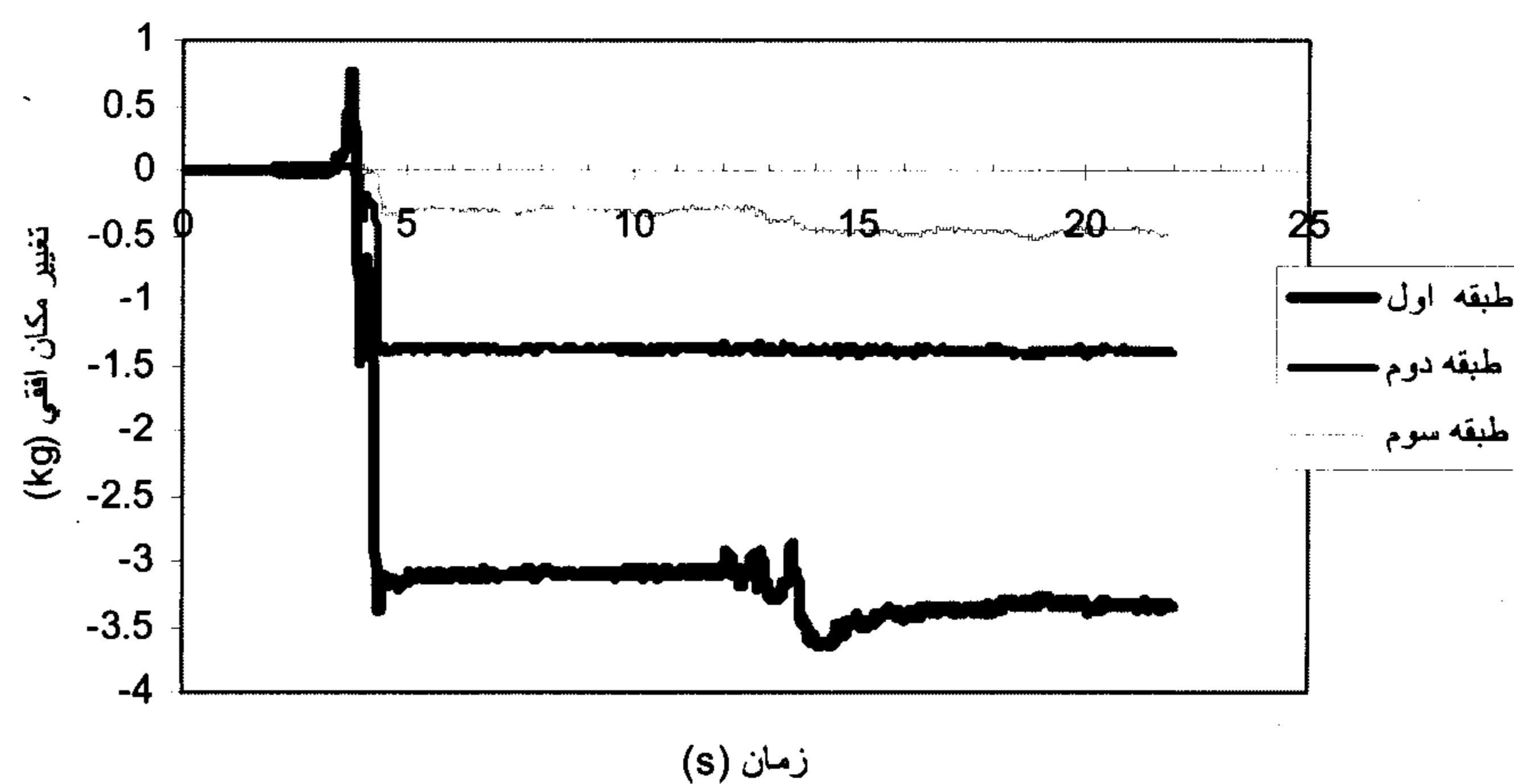
شکل ۱۳: منحنی برش پایه - تغییرمکان افقی طبقه اول قاب خرجینی ساده تحت زلزله ناغان.



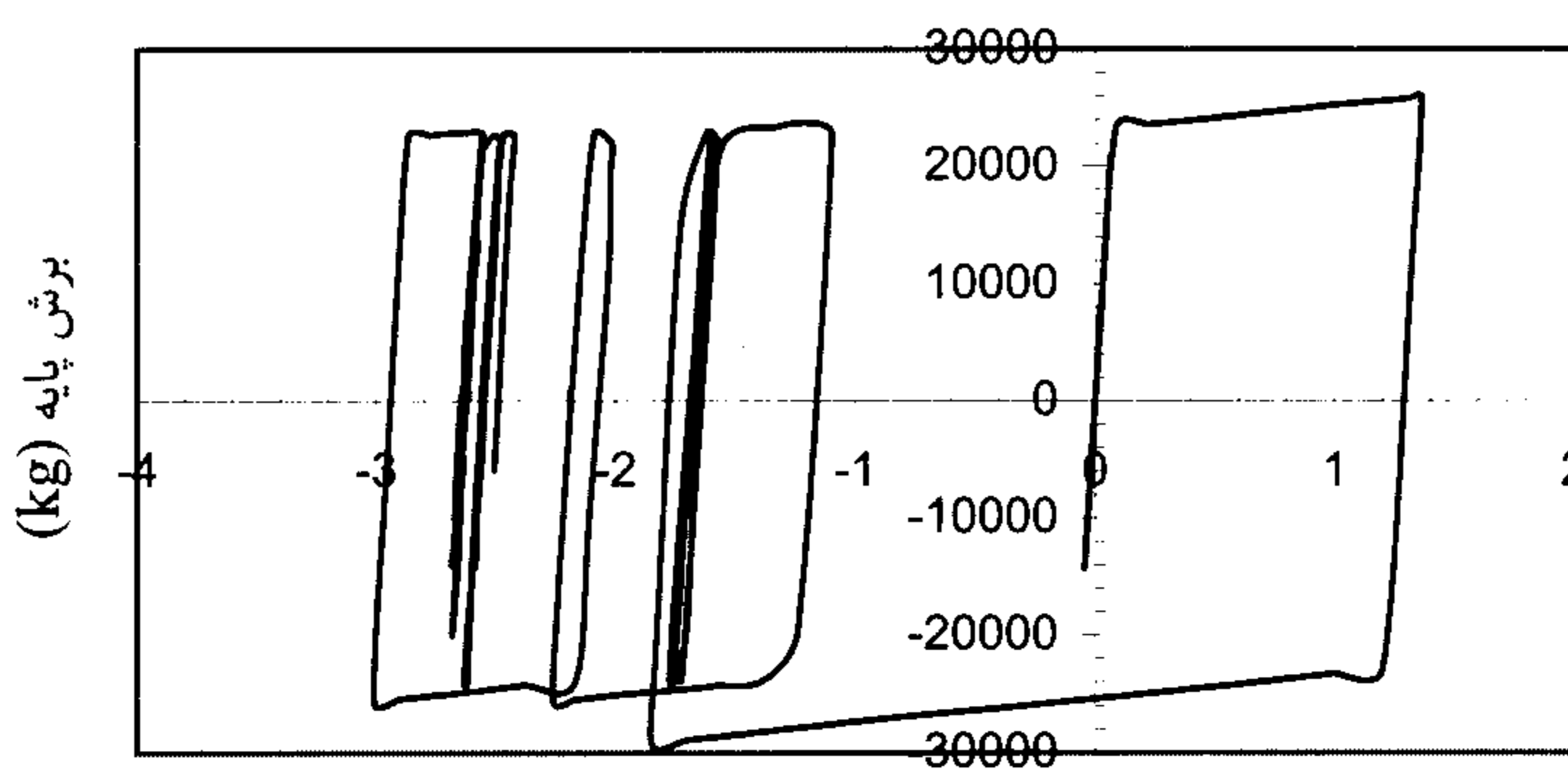
شکل ۱۴: تغییر مکان نسبی ایجاد شده در هر یک از طبقات قاب خرجینی مقاوم شده در مدت زلزله ناغان.



شکل ۱۵: تغییر مکان نسبی ایجاد شده در هر یک از طبقات قاب خرجینی مقاوم شده در مدت زلزله نورتریج.

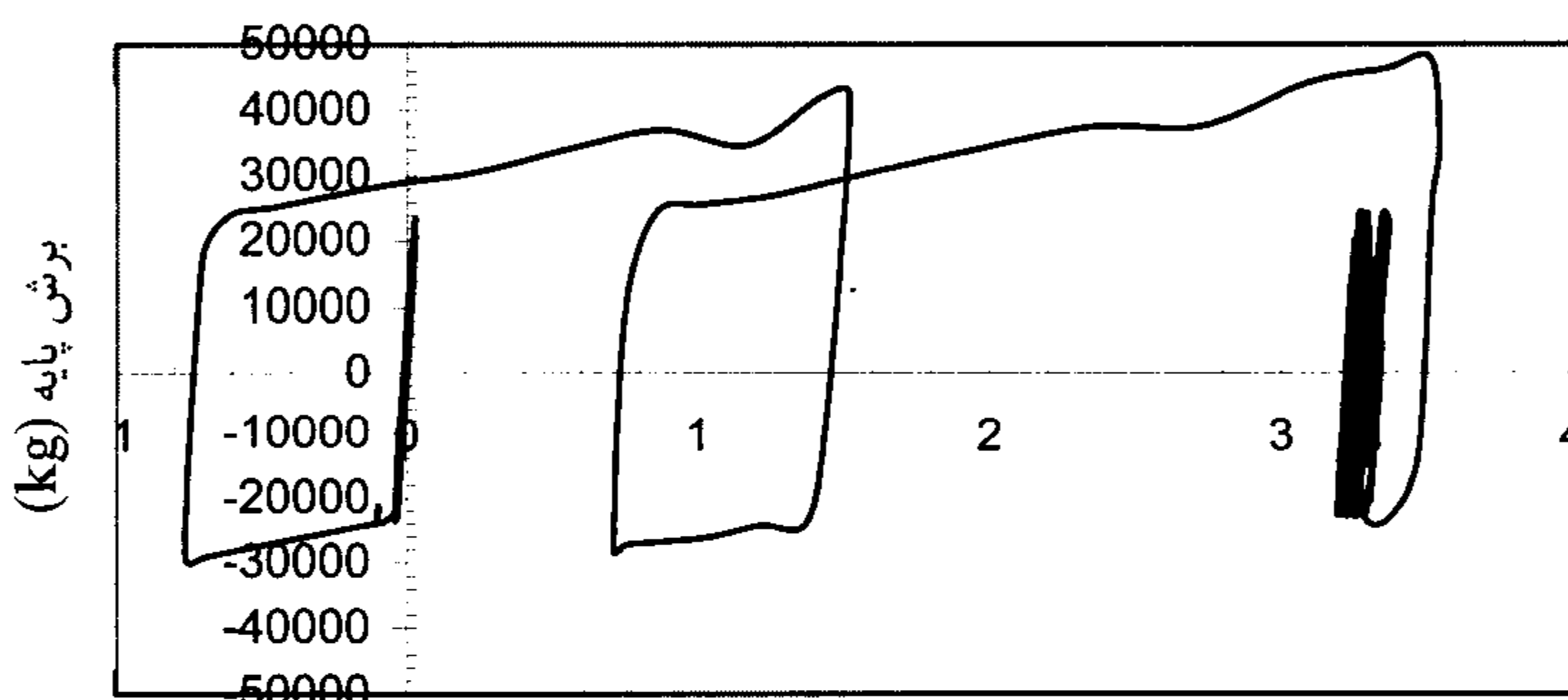


شکل ۱۶: تغییر مکان نسبی ایجاد شده در هر یک از طبقات قاب خرجینی مقاوم شده در مدت زلزله طبس.



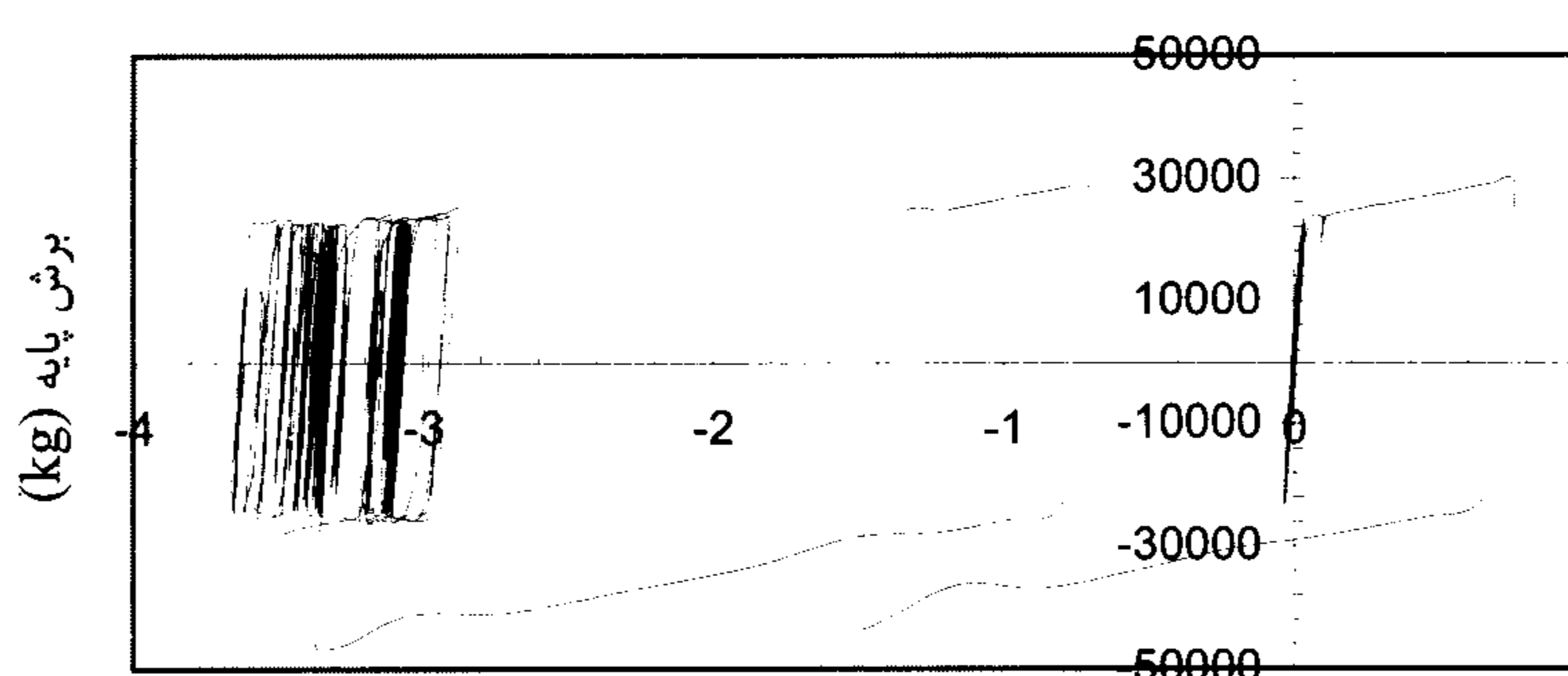
تغییر مکان افقی سقف اول (cm)

شکل ۱۷: منحنی برش پایه – تغییر مکان طبقه اول قاب خرجینی مقاوم شده تحت زلزله ناغان.



تغییر مکان افقی سقف اول (cm)

شکل ۱۸ : منحنی برش پایه – تغییر مکان طبقه اول قاب خرجینی مقاوم شده تحت زلزله نورتریج.



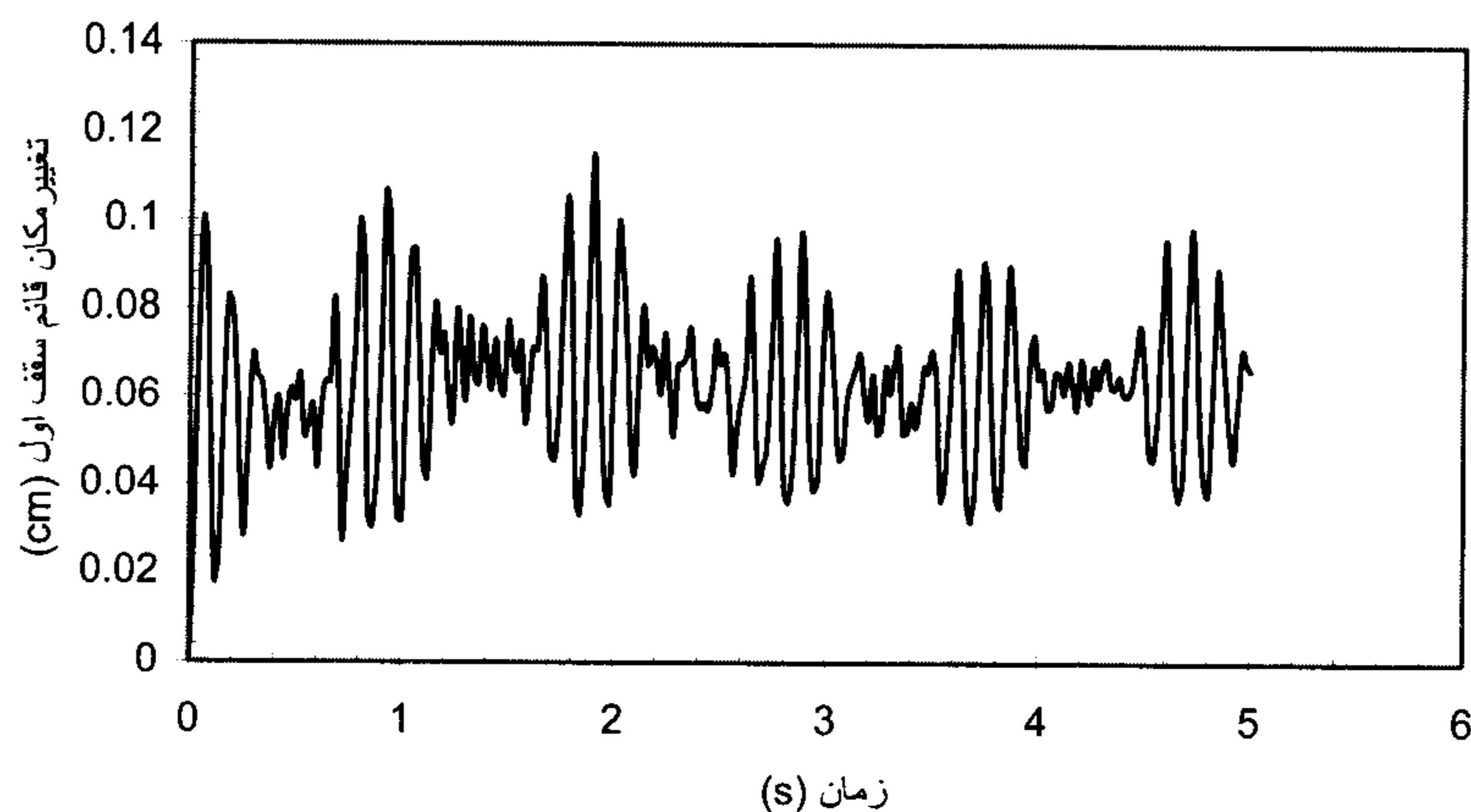
تغییر مکان افقی طبقة اول (cm)

شکل ۱۹ : منحنی برش پایه – تغییر مکان طبقة اول قاب خرجینی مقاوم شده تحت زلزله طبس.

زوالی در سختی و مقاومت قاب مشاهده نمی شود. این امر مبین رفتار لرزه‌ای مناسب قاب می باشد.

در شکل (۲۰) منحنی تغییر مکان قائم سقف طبقة اول تحت زلزله ناغان مشاهده می شود که مبین پایداری قاب خرجینی بعد از مقاوم سازی می باشد.

در شکلهای (۱۷) تا (۱۹) منحنی برش پایه – تغییر مکان طبقة اول قاب خرجینی مقاوم شده تحت زلزله های مختلف مشاهده می شود. همان طور که در شکل مشاهده می شود، پدیده تسلیم و اتلاف انرژی توسط میراگرها به وضوح دیده می شود. این منحنیها چرخه‌های پایدار هیسترزیس را نشان می دهد و هیچگونه



شکل ۲۰ : منحنی تغییر مکان قائم سقف طبقه اول قاب خرجینی مقاوم شده تحت زلزله ناغان.

مهاربندهای مذکور این قاب خرجینی آسیب پذیر، در برابر بارگذاری زلزله محاسبه و مقاوم سازی گردید. حسن مقاوم سازی به این روش در مقایسه با تبدیل قاب به یک قاب خمی، حجم مقاوم سازی کمتر به ویژه عدم نیاز به تقویت تیرهای خرجینی و در مقایسه با مهاربندهای هم محور متعارف ظرفیت شکلپذیری بیشتر می باشد. در نهایت رفتار این قاب خرجینی بعد از مقاوم سازی تحت شتاب نگاشت مقیاس شده زلزله های ناغان، طبس و نورتریج با استفاده از یک تحلیل غیر خطی بررسی گردید. تحلیل های مذکور نشان داد که این سیستم توانایی بالایی در طراحی لرزه ای سازه های جدید و همچنین مقاوم سازی سازه های موجود دارد و روش طراحی بیان گردیده برای مهاربندهای کمانش ناپذیر جوابگو بوده است.

## نتیجه گیری

در این مقاله به بررسی مهاربندهای کمانش ناپذیر پرداخته شد و ضمن نگاهی به مبانی آن، روش طراحی آن با استفاده از نیروهای حاصل از استاندارد ۲۸۰۰ بیان گردید. سپس با مدل سازی یک اتصال خرجینی رفتار غیر خطی لنگر - دوران این اتصال تعیین گردید و قاب خرجینی دارای اتصال مذکور مورد تحلیل غیر خطی تحت شتاب نگاشتهای مقیاس شده زلزله های ناغان، طبس و نورتریج قرار گرفت. نتایج تحلیل نشان داد که به علت سختی و مقاومت کم اتصال خرجینی، این قاب در اثر تغییر مکانهای جانبی زیاد و تشدید پدیده  $P-\Delta$  و همچنین تشکیل مفصل پلاستیک در محل پای ستونها دچار فروریزش می گردد. در نهایت با استفاده از

## مراجع

- ۱ - دهقانی، م. "پایان نامه کارشناسی ارشد در بررسی نظری و تجربی اتصالات ساده و خمی تیرهای خرجینی به ستون." ارائه جزئیات یک اتصال گیردار جدید، دانشگاه تهران، (۱۳۷۹).
- ۲ - مزروعی، ع. و مصطفایی، ح. "بررسی تجربی روش های نوین اتصالات خرجینی تحت اثر بارگذاری چرخه ای." تازه های ساختمان و مسکن، شماره ۱۴، پاییز (۱۳۷۸).
- ۳ - مقدم، ح. "خواص مکانیکی اتصالات خرجینی." دومین کنفرانس بین المللی زلزله شناسی و مهندسی زلزله، موسسه بین المللی زلزله شناسی و مهندسی زلزله، (۱۳۷۴).
- ۴ - صادقیان، پ. و مقدم، ح. "پایان نامه کارشناسی ارشد در بررسی اتصالات خرجینی." دانشگاه صنعتی شریف، پاییز (۱۳۷۸).
- 5 - Watanabe, A. et al. (1989). "Properties of brace encased in buckling-restraining concrete and steel tube." *Proceedings, Ninth World Conference on Earthquake Engineering*, 9WCEE Organizing Committee, Japan Assn. for Earthquake Disaster Prevention, Tokyo, Vol. IV, PP. 719-724, Paper 6-7-4.

- 6 - Clark, P., Aiken, I. Kasai, K. (1999). "Design Procedures for Buildings Incorporating Hysteretic Damping Devices." *Proceedings, 68th Annual Convention*, Santa Barbara, California Structural Engineers Association of California.
- 7 - Watanabe, A. (1996). "Some damage control criteria for a steel building with added hysteresis damper." *Eleventh World Conference on Earthquake Engineering [Proceedings]*, Pergamon, Elsevier Science Ltd., Disc 1, No. 449.
- 8 - Saeki, E., Iwamatu, K. and Wada, A. (1996). "Analytical study by finite element method and comparison with experiment results concerning buckling-restrained unbonded braces." *Journal of Structural and Construction Engineering (Trans. of AJ)*, Vol. 484, PP. 111-120.
- 9 - Saeki, E., et al. (1996). "Analytical study on unbonded braces fixed in a frame (in Japanese)." *Journal of Structural and Construction Engineering (Transactions of AJ)*, Vol. 489, PP. 95-104.
- 10 - Clark, P., et al. (2000). "Large-scale testing of steel unbonded braces for energy dissipation." *Advanced Technology in Structural Engineering: Proceedings of the 2000 Structures Congress & Exposition*, May 8-10, 2000, Philadelphia, Pennsylvania, American Society of Civil Engineers, Reston, Virginia.
- 11 - Kamura, H., Katayama, T., Shimokawa, H. and Okamoto, H. (2000). "Energy dissipation characteristics of hysteretic dampers with low yield strength steel." *Proceedings, U.S.-Japan Joint Meeting for Advanced Steel Structures*, Building Research Institute, Tokyo.
- 12 - Iwata, M., Kato, T. and Wada, A. (2000). "Buckling-restrained braces as hysteretic dampers." *Behavior of Steel Structures in Seismic Areas: STESSA 2000*, Balkema, PP. 33-38.
- 13 - Tehranizadeh, M. (2000). *Behavior of Friction Damping on Semi-Rigid "KHORJINEE" Steel Framing Connection*, 12<sup>th</sup> World Conference on earthquake engineering, Aukland New Zealand.
- 14 - Wakabayashi, Mi. (1986), *Design of Earthquake-Resistant Buildings*.
- 15 - [http://www.deicon.com/vib\\_tutorial/act\\_vib2\\_pdf.pdf](http://www.deicon.com/vib_tutorial/act_vib2_pdf.pdf).

### واژه های انگلیسی به ترتیب استفاده در متن

1 – Buckling-Resistant Unbonded Brace